

زیست‌چینه‌نگاری و پالئوکولوژی سازند آسماری در شرق دوگنبدان بر اساس روزنداران

عزیزاله طاهری^{۱*}، حسین وزیری مقدم^۲

^۱دانشکده علوم زمین، دانشگاه صنعتی شاهروود، شاهروود، ایران

^۲گروه زمین شناسی، دانشکده علوم، دانشگاه اصفهان، اصفهان، ایران

*مسئول مکاتبات- آدرس الکترونیکی: ali.ataheri@gmail.com

(دریافت: ۸۸/۹/۲۰؛ پذیرش: ۸۸/۹/۱۸)

چکیده

پخش و گسترش روزنداران در برش شرق دوگنبدان، به منظور معرفی تجمعات فونی، بایوزون‌های موجود و تعیین سن سازند آسماری مورد مطالعه قرار گرفت. مطالعات دیرینه‌شناسی و زیست‌چینه‌نگاری منجر به شناسایی ۲ تجمع فونی گردید. بر این اساس سن سازند آسماری با ضخامت ۱۸۷/۵ متر در این برش شاتین-آکی تانین (Chatian-Aquitanian) تعیین شد. گسترش روزنداران کفزی بزرگ حاکی از آن است که سنگ‌های سازند آسماری در پلاتفرم کربناته کم عمق دریابی، در منطقه نورانی نواحی گرمسیری تا نیمه گرمسیری نهشته گردیده است. مطالعات پالئوکولوژی و سنگ شناسی سه محیط رسوبی سکوی داخلی، سکوی میانی و سکوی خارجی را نشان می‌دهد. رخساره‌های سکوی داخلی با وکستون-پکستون حاوی روزنداران کفزی با دیواره پورسلانوز مشخص می‌گردد. رخساره‌های سکوی میانی با پکستون حاوی انواع متفاوتی از روزنداران کفزی با دیواره منفذدار نشان داده می‌شود. سکوی خارجی با وکستون حاوی روزنداران شناور و نومولیتیده و لپیدوسیکلینیده بزرگ و کشیده مشخص می‌گردد.

واژه‌های کلیدی:

Wosiyan در اکتشافات نفتی و کارهای دیگران (Seyrafian & Hamedani 1998; Seyrafian 2000; Vaziri-Moghaddam et al. 2006; Daneshian & Dana 2007; Amirshahkarami et al. 2007 a, b) مورد استفاده قرار گرفته است. آدامز و بورژا (Adams & Bourgeois 1967) در تعیین سن سازند آسماری قادر به تفکیک آشکوب‌های الیگومن نبوده‌اند (جدول ۱).

جدول ۱: زون‌های تجمعی سازند آسماری (برگرفته از Adams & Bourgeois 1967).

بایوزون‌ها	سن	واحدهای سنگی	واحدهای سنگی
Borelis melo-Meandropsina iranica	بوردیگالین	آسماری بالایی	آسماری سنگی
Elphidium sp. 14-Miogypsina	آکی تانین پسین	آسماری	آکی تانین
Archaias asmaricus- Archaias hensonii	آکی تانین	آسماری	آسماری پائینی
Eulepidina- Nephrolepidina-	الیگومن	آسماری پائینی	

اخیراً هرنبرگ و همکاران (Ehrenberg et al. 2007) چینه‌نگاری سازند آسماری را بر اساس ایزوتوب استرونیوم مورد بازبینی قرار داده‌اند و پنج حادثه زیست‌چینه‌نگاری که در تعیین سن و تطابق حائز اهمیت هستند را تشخیص داده‌اند، این پنج حادثه عبارتند از:

مقدمه روزنداران کفزی بزرگ از گروه‌های فسیلی شاخص و مفید برای تعیین سن نسبی لایه‌های ستوزه‌یک محسوب می‌گردد. از آنجایی که سازند آسماری به عنوان سنگ مخزن مواد هیدروکربوری در حوضه رسوبی زاگرس محسوب می‌گردد، لذا شناسایی و بررسی دقیقت این سازند بر اساس فونای فسیلی اطلاعات مفید و ارزشمندی را جهت مطالعات و کارهای اکتشافی در این حوضه به دست خواهد داد.

رسوبات پلاتفرم کربناته‌ای که تشکیل سازند آسماری را می‌دهند، شامل تعدادی از بزرگترین ذخایر نفتی در دنیا می‌باشند (Alavi 2004). در برش تیپ این سازند متشكل از ۳۱۴ متر توالی کربناته است که بر اساس پراکندگی روزنداران کفزی بزرگ و چینه‌نگاری ایزوتوب استرونیوم سن روپلین-میوسن پیشین برای این سازند در نظر گرفته شده است (Lees 1933; Thomas 1948; James & Wynd 1965; Wynd 1965; Adams & Bourgeois 1967; Ehrenberg et al. 2007).

بایوزون‌های سازند آسماری بر اساس گزارشات منتشر نشده وايند (Wynd 1965) و آدامز و بورژا (Adams & Bourgeois 1967) بر مبنای روزنداران کفزی بزرگ می‌باشد. اين بایوزوناسیون به طور

مختصات جغرافیایی ۳۰ درجه و ۱۲ دقیقه و ۱۷ ثانیه عرض شمالی و ۵۱ درجه و ۱۱ دقیقه و ۱۱ ثانیه طول شرقی است (شکل ۱).

روش مطالعه

در مرحله نخست برش فوق در صحراء مطالعه گردید. با توجه به مشخصات سنگشناسی و تغییرات رخسارهای در این برش بیش از ۴۰۰ نمونه برداشت و از آنها مقطع نازک تهیه شد. این مقاطع از نظر پتروگرافی و دیرینه‌شناسی برای تعیین سن نسبی توالی و شناسایی رسوب، رخسارها بررسی گردیدند.

توصیف چینه‌نگاری پرش اندازه‌گیری شده

به طور کلی سازند آسماری از نظر سنگ شناسی یکنواخت و همگن بوده و به همین دلیل تفکیک آن به واحدهای سنگی دشوار است. در اینجا سازند آسماری بر اساس ضخامت لایه‌ها و توزیع میان لایه‌های مارپیچ یا شیلی، واحدیندی شده است.

قطعه برداشت شده در برش دوگنبدان ۱۸۷/۵ متر ضخامت دارد (شکل ۲). سازند آسماری در این برش با مرز پیوسته و تدریجی روی سازند پایده قرار دارد. سازند گچساران با مرز ناگهانی بر روی آن قرار گرفته است. واحدهای تشکیل دهنده برش از قاعده به راس شامل اهک‌های مارنی، نودولار حاوی لپیدوسیکلین با بین لایه‌هایی از آهک متوسط لایه، آهک‌های متوسط لایه و آهک‌های نودولار، مارنی با بین لایه‌های از آهک مارنی می‌باشند.

زیست‌چینه‌نگاری

به منظور تعیین سن نهشته‌های سازند آسماری در برش مورد مطالعه ۴۰۰ مقطع نازک به طور دقیق مورد بررسی قرار گرفت. بر اساس این مطالعات ۲۲ جنس و ۱۹ گونه شناسایی گردید (Plate 1 and 2). بر مبنای انتشار چیننهنگاری میکروفسیل‌های موجود ۲ بیوزون تشخیص داده شده است. تعیین بیوزون‌ها بر اساس بیوزون‌های ارائه شده توسط آدامز و پورژوا (Adams & Bourgeois 1967) صورت گرفته است. علاوه بر این برای تعیین سن دقیق‌تر نهشته‌ها از تعیین سن سازند آسماری بر اساس ایزوتوپ استرانسیوم که توسط اهرنبرگ و همکاران (Laursen *et al.* 2009) و لارسن و همکاران (Ehrenberg *et al.* 2007) صمدت گرفته، استفاده شده است.

١٨ شماره فون تجمع

تجمع فونی شماره ۱، از قاعده تا ضخامت ۳۶ متری را شامل شده و در آن گمنههای زیر مشاهده می‌شوند.

Eulepidina dilatata, *Eulepidina elephantina*, *Opeculina complanata*, *Spiroclypeous blanckenhorni*, *Lepidocyclina* sp., *Amphistegina lessoni*, *Heterostegina* sp., *Archaias kirkukensis*, *Archaias* sp., *Dendritina rangi*, *Triloculina trigonula*, *Discorbis* sp., *Elphidium* sp.1 (Thomas), *Neorotalia viennoti*, *Neorotalia* sp., *Spherogypsina globulosa*, *Nephrolepidina tournoueri*, *globigerinids*

- ۱- بر اساس تعیین سن ایزوتوب استرونسیوم آخرین پیدایش جنس نومولیتیس قبل از انتهای روپلین می‌باشد.
 - ۲- گونه *Spiroclypeus blanckenhorni* به عنوان شاخص شانین معرفی گردیده است.
 - ۳- آخرین حضور جنس آرکیاس نزدیک یا درست بعد از قاعده میوسن می‌باشد. آدامز و بورژا (Adams & Bourgeois 1967) برخی از گونه‌های این جنس را شاخص آکی‌تانین می‌دانند.
 - ۴- ظهرور جنس میوزیپسینا در انتهای زمان شانین است در حالیکه آدامز و بورژا آنرا شاخص میوسن پیشین می‌دانند.
 - ۵- گونه *Borealis melo-curdica* شاخص خوبی برای بوریدیکالین است. آخرین مقاله انتشار یافته در مورد بیوزوناسیون سازند آسماری بوسیله لارسن و همکاران (Laursen *et al.* 2009) ارائه گردیده است (جدول ۲).

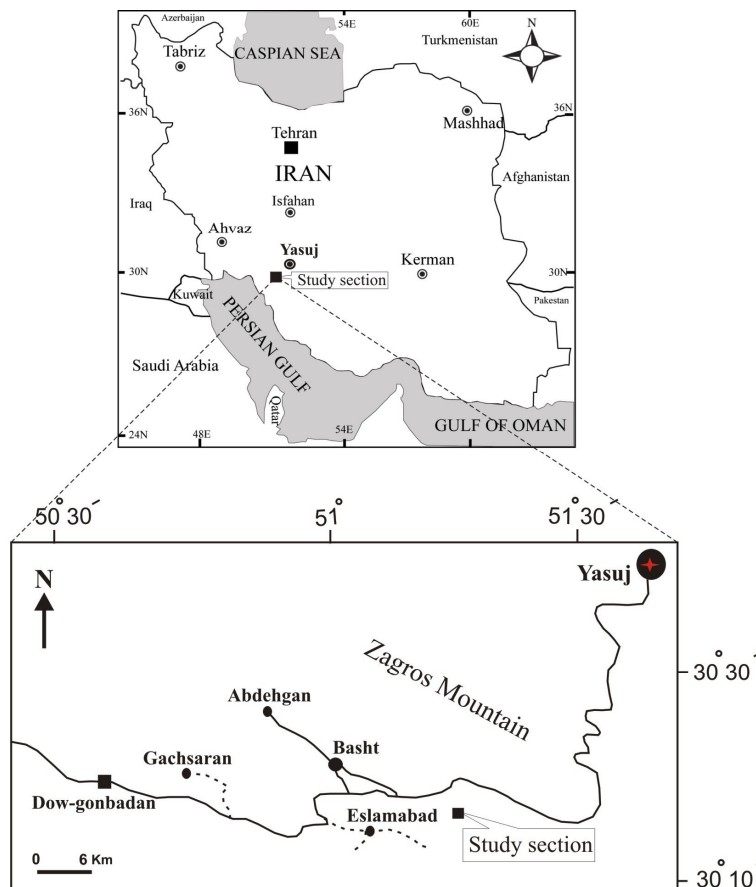
جدول ۲: بیوزوناسیون سازند آسماری بر اساس لارسن و همکاران (Laursen et al. 2009)

Biozonation of the Asmari Formation

Age	Epoch	Stage	Zonation
20		Burdigalian	<i>Borelis melo curdica</i> - <i>Borelis melo melo</i>
			<i>Miogypsina</i> - <i>Elphidium</i> sp. 14 - <i>Peneroplis farsensis</i>
25		Aquitanian	<i>Indeterminate</i>
			<i>Archaias asmaricus</i> - <i>Archaias hensonii</i> - <i>Miogypsinooides complanatus</i>
30		Chattian	<i>Lepidocyrtina</i> - <i>Operculina</i> , <i>Ditropia</i>
			<i>Nummulites vascus</i> - <i>Nummulites fichteli</i>
		Rupelian	<i>Globigerina</i> - <i>Turborotalita cerroazulensis</i> <i>Hankenina</i>

هدف از این مطالعه بررسی دقیق زیست‌چیزهایی و زیست‌ترخسارهای بر اساس روزنداران کفزی و سنگ شناسی سازند آسماری در برش شرق دوگنبدان و انطباق آن با تعیین سن ایزوتوپ استرلونسیوم و فونای این سازند که توسط اهرنبرگ و همکاران (Ehrenberg *et al.* 2007) و لارسن و همکاران (Larsen *et al.* 2009) صورت گرفته، می‌باشد. امید است که این مطالعات، اطلاعات جدید و مفیدی را در اختیار بهره‌شگان قرار دهد.

موقعیت جغرافیایی و راه‌های دسترسی به برش مورد مطالعه برش دوگنبدان در ۳۰ کیلومتری شرق دوگنبدان قرار گرفته است.



شکل ۱: موقعیت جغرافیایی و راههای دسترسی به برش مورد مطالعه در شرق دوغنبدان.

حضور دارند:

Opeculina complanata, *Amphistegina* sp., *Dendritina rangi*, *Triloculina trigonula*, *Discorbis* sp., *Elphidium* sp., *Elphidium* sp. 14 Adams & Bougeois, *Neorotalia viennoti*, *Neorotalia* sp., *Spherogypsina globulosa*, *Miogypsina* sp., *Borelis* sp., *Borelis pygmea*, *Discorbis* sp., *Peneroplis evolutus*, *Valvulinid* sp., *Miogypsinoides* sp.

بر اساس حضور *Elphidium* sp. 14 و *Miogypsina* sp. 14 این تجمع قابل انطباق با زیر زون 2-A آدامز و بورژوا به نام (*Elphidium* sp. 14-*Miogypsina* assemblage subzone) است. آدامز و بورژوا این زیر زون تجمعی را به بخش بالایی آکی تانین (میوسن پیشین) نسبت داده‌اند. با توجه به قرار گیری این تجمع بر روی تجمع ۱ و عدم حضور گونه *Borelis melo-curdica* (شاخص بوردیگالین) می‌توان سن این مجموعه را به آکی تانین (میوسن پیشین) نسبت داد. این زون معادل زون تجمعی *Miogypsina-Elphidium* sp. 14-*Peneroplis farsensis* لارسن و همکاران (Laursen et al. 2009) می‌باشد.

دیرینه زیست‌شناسی روزنده‌ران الیگو-میوسن در ک تغییرات شرایط محیط براساس ویژگی‌های ثبت شده در توالی‌های رسوی یکی از مهمترین گام‌های بازسازی رویدادهای مربوط

لازم به ذکر است که آخرین حضور گونه‌های آركیاس مربوط به انتهای این تجمع فونی می‌باشد. با مقایسه این گونه‌ها با گونه‌های معروف شده در بیوزوناسیون آدامز و بورژوا (Adams & Bourgeois 1967)، این مجموعه با توجه به حضور *Archaias kirkukensis* و *Archaias asmaricus*-sp. منطبق با زون زیستی 2-B به نام (*Archaias hensonii* assemblage subzone) است. آدامز و بورژوا این بیوزون را به بخش پایینی آکی تانین (میوسن پیشین) نسبت داده‌اند. اما مطالعات اهربرگ و همکاران (Ehrenberg et al. 2007) نشان داده که آخرین حضور *Archaias* مربوط به قاعده میوسن، نزدیک مرز الیگو-میوسن می‌باشد. لذا بر این اساس و به دلیل موقعیت چینه نگاری این مجموعه به الیگوسن پسین (شاتین) تا قاعده میوسن نسبت داده می‌شود. این زون قابل تطابق با زون تجمعی *Archias asmaricus*-A. *hensonii-Miogypsinoides complanatus* (Laursen et al. 2009) لارسن و همکاران Assemblage zone می‌باشد.

تجمع فونی شماره ۲

قاعده این تجمع فونی بر روی آخرین حضور آركیاس قرار دارد. در این مجموعه، از ضخامت ۳۶ متری تا انتهای سازند آسماری، گونه‌های زیر

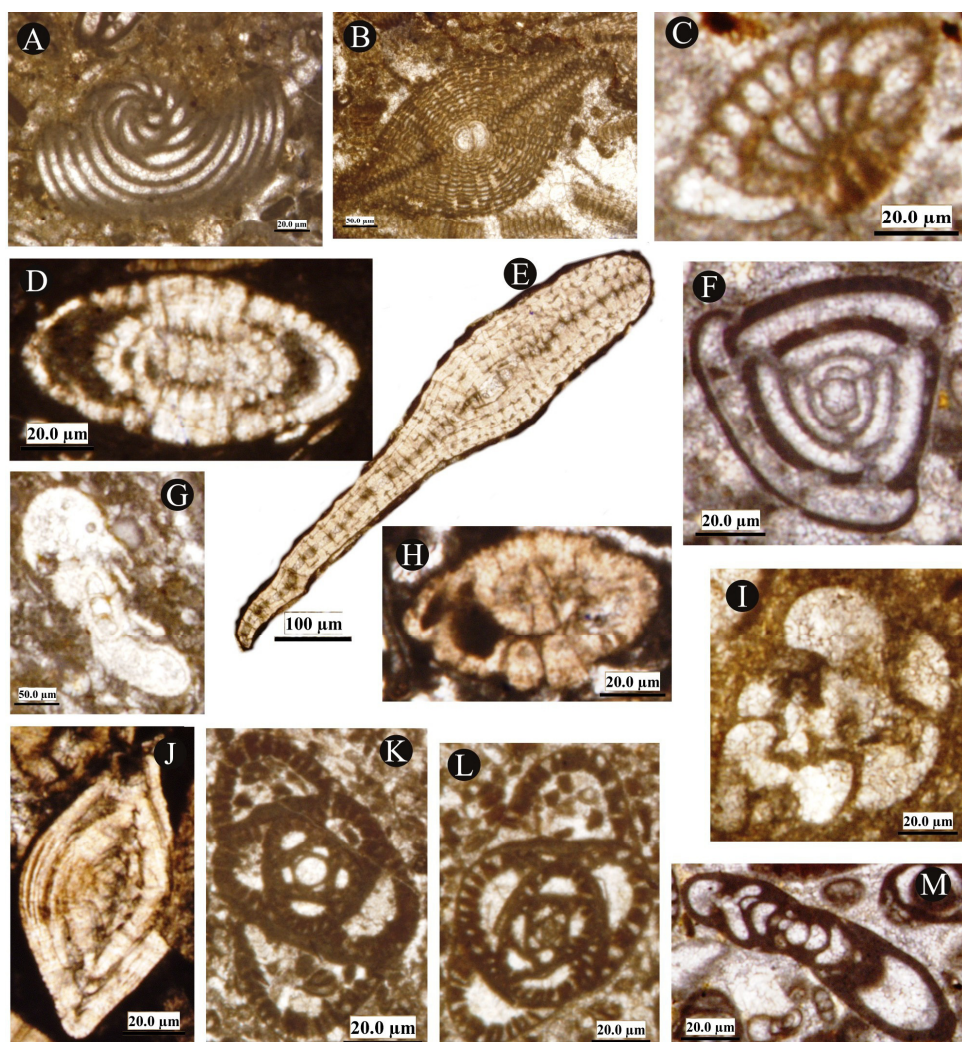


PLATE 1: A) *Peneroplis evolutus* Henson, (Transverse section); B) *Nephrolepidina tourouperi* (Lemoine and Douville), (Axial section); C) *Elphidium* sp.1 Adams and Bourgeoies, (subaxial section); D) *Elphidium* sp.14 (Thomas), (Subaxial section); E) *Spiroclypeous* sp. (Axial section); F) *Triloculina trigonula* (Lamark), (Transverse section); G) *Discorbis* sp. (Axial section); H) *Neorotalia viennoti* Griag, (Axial section); I) *Valvulinid* sp. (Axial section); J) *Amphistegina* sp. (Axial section); K) *Austrotrilina howchini* (Schlumberger), (Transverse section); L) *Austrotrilina asmariensis* Adams (Transverse section); M) *Dendritina rangi* d' Orbigny, (Axial section).

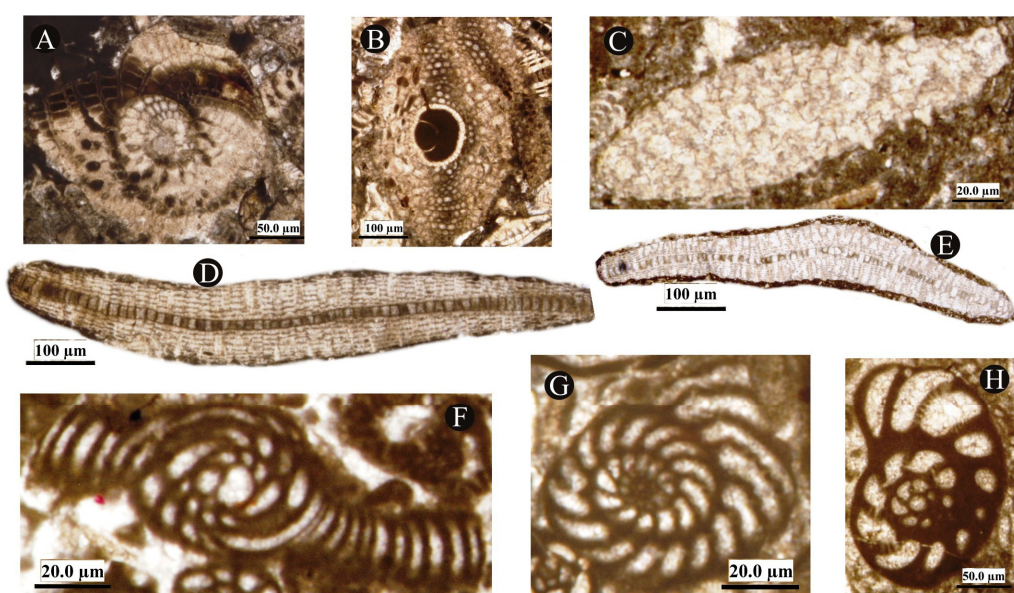
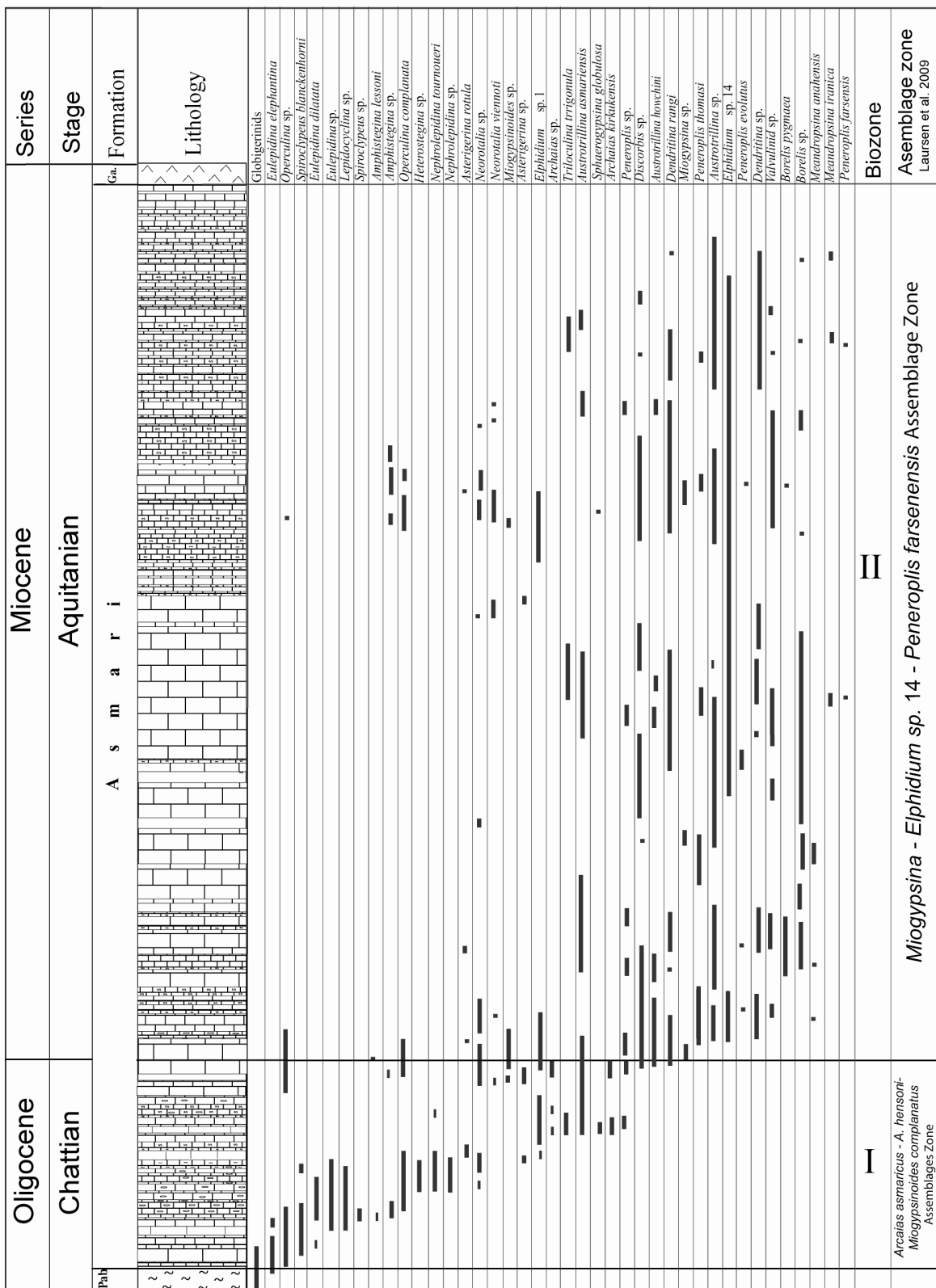


PLATE 2: A) *Heterostegina* sp. (Transverse section); B) *Eulepidina* sp. (Equatorial section); C) *Miogypsina* sp. (Axial section); D, E) *Eulepidina dilatata* Adams, (Subaxial section); F) *Peneroplis thomasi* (Axial section); G) *Peneroplis farsensis* (Transverse section); H) *Dendritina rangi* d' Orbigny, (Transverse section).

مجموعه جنس‌های روزنداران و نوع رخساره وجود دارد. زیرا توزیع آن‌ها در سکوی کربناته به عوامل گوناگون مانند عمق، نور و ماهیت کف بستر بستگی دارد. به همین دلیل روزنداران نشانه‌های عالی برای

به تغییرات سطح آب با استفاده از داده‌های چینه‌ای است. در پلانفرم‌های کربناته سنوزوئیک روزنداران سنگواره از شاخص‌ترین نشانه‌های دیرینه محیطی محسوب می‌شوند. در این میان رابطه ظریفی بین



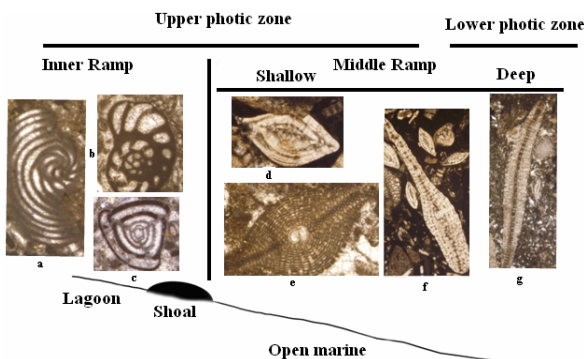
شکل ۲: ستون سنگ‌شناسی و زیست‌چینه‌نگاری سازند آسماری در برش مورد مطالعه، شرق دوغنبدان.

پوسته‌های بزرگ و مسطح به طور عمده برای زندگی در محیط‌های پرانرژی مناسب نیستند. زیرا، حتی آشفتگی کم آب سبب شناور شدن آن‌ها می‌شود (Rasser *et al.* 2005). فراوانی روزنداران بزرگ در اغلب رخساره‌های تشخیص داده شده نشانگر رسوبگذاری در منطقه نورانی است. روزنداران کفزی بزرگ عهد حاضر محدود به منطقه نورانی هستند. زیرا، همه‌ی آن‌ها میزبان جلبک‌ها هستند. توزیع و پراکندگی این روزنداران درون منطقه نورانی وابسته به تمرکز مواد غذائی، درجه حرارت، عمق آب و انرژی محیط است (Hottinger 1997; Hohengger 1997).

روزنداران بزرگ در بخش ژرف دریایی باز قرار ندارند. روزنداران کف‌زی کوچک و گاهی شناورها جای آن‌ها را می‌گیرند. اما در بخش میانی این محیط، نخستین روزنداران بزرگ با پوسته‌های پهن و نازک مانند برخی نومولیتیده‌ها ظاهر می‌شوند. در بخش بالائی دریایی باز با کاهش عمق، نومولیتیده‌های کوچک و عدسی شکل در کنار جلبک‌های سرخ و بریوزوئرها تفوق پیدا می‌کنند.

در کولاپ کم عمق پشت سد همراه با شکم پایان، روزنداران پورسلانوز فراوان هستند. این رخساره‌ها نشانگر آب‌های کم عمق با آشفتگی کم، نور شدید و پایداری کم کف بستر است. آشفتگی کم سبب فراوانی بالای روزنداران پورسلانوز شده که در آب‌های کم عمق Reiss & Hottinger 1984; Hallock 1984, 1988; Buxton & Pedley 1989; Romero *et al.* 2002.

امروزه روزنداران بزرگ در پلاتفرم‌های کربناته گرم‌سیری درون بخش بالائی منطقه نورانی فراوان هستند (Barattolo *et al.* 2007). تغییر در روزنداران کفzی بزرگ از پورسلانوز به اشکال هیالین با تغییر در کاهش شفافیت آب و افزایش عمق همراه است. براساس تجمع روزنداران بزرگ، سکوی کربناته سازند آسماری قابل تقسیم به بخش هائی با عمق متفاوت است (شکل ۳).



شکل ۳: ارتباط بین عمق و زون نوردار در گسترش و پراکندگی روزنداران کف‌زی در برش مورد مطالعه. d. *Triloculina Dendritina* c. b. a. *Peneroplis* flat *Eulepidina* f. *Spiroclypeus* g. *Nephrolepidina* e. *Amphistegna* بزرگنمایی اشکال X40

Romero *et al.* 2002; Amodio 2006). این آغازیان کوچک علاوه بر دوره‌های زندگی کوتاه و تکامل سریع نسبت به تغییر شرایط محیط زندگی خود مانند عمق، نور، آشفتگی، شوری، مواد مغذی به اندازه کافی حساس‌اند. این عوامل محیطی در تنوع و فراوانی موجودات نقش اساسی ایفا می‌نماید (Reiss & Hottinger 1984). یک اکوسیستم دریائی کم عمق با چرخش طبیعی آب و آب‌های غنی از اکسیژن سبب ایجاد زیستگاهی با مواد غذائی فراوان و تولید کنندگان اولیه خواهد شد که مناسب برای تنوع و فراوانی روزنداران کف‌زی می‌گردد.

برخی از روزنداران کف‌زی بزرگ دارای همزیست‌هایی از میکروجلبک‌ها هستند. میزبان از فتوسنتز میکروجلبک‌ها به عنوان منشأ و مصرف انرژی برای فرایندهای متابولیکی استفاده می‌کند. همزیست‌ها از طرف دیگر خود را درون تست روزنداران محافظت نموده و از دی‌اکسیدکربن تشکیل شده در تست استفاده می‌کنند. در مواردی میزبان به طور کلی فوتواترروف شده و این امر سبب می‌شود که روزنداران کف‌زی در محیط‌های کم عمق گرم‌سیری تحت شرایط الیگوتروفی ساکن شوند. حداقل فراوانی و اندازه تست در روزنداران کف‌زی در شرایط آب و هوای گرم امکان‌پذیر می‌شود (Ungro 1994). ایجاد چنین صدف‌هایی با قطر بزرگ می‌تواند ناشی از ترشح شدید کربنات در زمان زندگی برای ایجاد دی‌اکسیدکربن برای زندگی هم‌زیست باشد (Hohenegger 1996). فسیل‌های نومولیتیده و لپیدوسیکلینیده حاوی میکرو‌جلبک‌هایی به صورت هم زیست هستند که سبب فراوانی آن‌ها در شرایط الیگوتروفی در آب‌های گرم‌سیری می‌گردد. این روزنداران وابسته به نور هستند. این محافظت در روزندرانی با دیواره پورسلانوز به وسیله دیوارهای غیر شفاف ایجاد می‌گردد و سبب فراوانی آن‌ها در آب‌های کم عمق می‌شود. این گروه منشورهای سوزنی کلسیت را در سطح درونی پوسته خود تولید می‌کنند، ضمن اینکه آب‌های گرم و فوق شور تالاب‌ها را ترجیح می‌دهند (Geel 2000).

نومولیتیده‌ها و لپیدوسیکلینیده‌ها در آب‌های با غلظت عادی یون کلسیم می‌زینند و کلسیت را در سطح درونی و بیرونی صدف ترشح می‌کنند. آن‌ها دارای دیواره شفاف هیالین هستند و خود را از این تشعشعات به وسیله دیوارهای ضخیم ورقه‌ای و حضور در آب‌های عمیق‌تر حفظ می‌نمایند.

انرژی هیدرودینامیکی با کف بسترها متحرک عامل کنترل کننده‌ی دیگری در پخش و پراکندگی روزنداران است. صدف‌های عدسی شکل ضخیم مانند برخی نومولیتیده‌ها و بافت‌های دوکی محکم با اطاقک‌های فراوان با محیط‌های پر انرژی تطابق دارند.

روزنداران پلازیک نظیر گلوبیترینا و گلوبوروتالیا (شکل ۴A) نشانگر ژرفترین بخش دریای باز است. بافت سنگ حاکی از تنه‌نشست این رخساره در محیط کم انرژی و زیر سطح اساس امواج در شرایط عادی می‌باشد (Wilson 1975; Flugel 2004). فقدان فون‌های هم زیست نمایانگر نهشته شدن رخساره فوق زیر منطقه نورانی است (Geel 1998 Peddley 1996; Vaziri- Moghaddam et al. 2006; Okhravi & Amini 1998). مشابه این رخساره از بخش حوضه توسط مولفین مختلف گزارش شده است (Cosovic et al. 2004).

Rxساره وکستون با مخلوط روزنداران کفزی با دیواره‌های منفذ دار رخساره وکستون با مخلوط روزنداران کفزی با دیواره‌های منفذ دار

حضور فراوان روزنداران پلانکتون نشانگر محیط دریای باز است و با افزایش ژرفای سمت دریا به طور نسبی فراوان‌تر می‌شوند. رخساره‌های حاوی شناورها که فاقد انواع بزرگ کفزی هستند، خاص ژرفای بیش از ۲۰۰ متر می‌باشند (Geel 2000). رخساره‌های غنی از روزنداران پلانکتون که فاقد جلبک‌های سرخ هستند، حد زیرین ناحیه نوری را نشان می‌دهد (Cosovic et al. 2004).

دیرینه زیست‌شناسی روزنداران موجود در سازند آسماری در برش شرق دوغنبدان در سازند آسماری، در برش مورد مطالعه رخساره وکستون-پکستون با

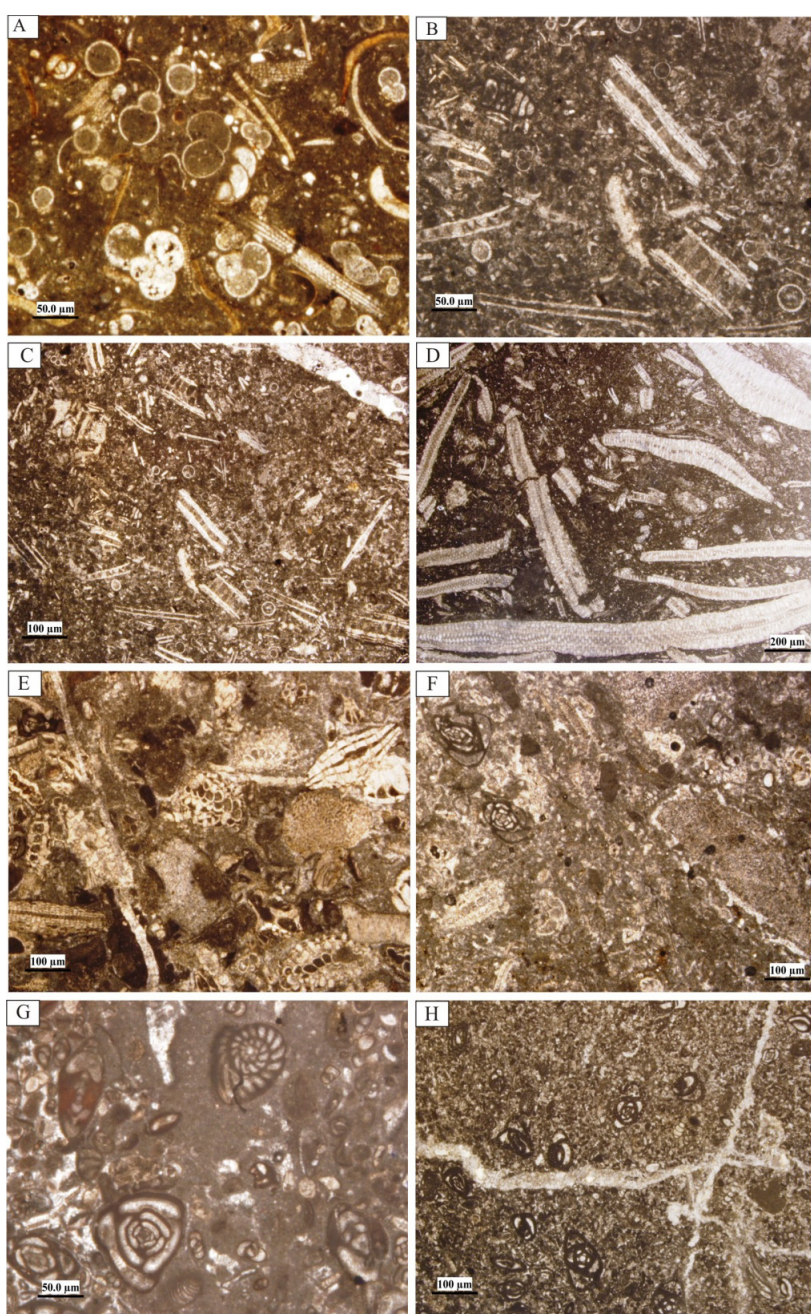


Fig. 4. A) Pelagic foraminifera wackestone-packstone; B-C) Pelagic foraminifera lepidocyclinidae wackestones; D) lepidocyclinidae wackestone; E) Nummulitidae miogypsinidae bioclastic packstone; F) Benthic foraminifera (perforate and imporforate) bioclastic wackestone-packstone; G) Bioclastic imporforated foraminifera wackestone; H) Peloidal imporforate foraminifera wackestone.

.(Hottinger 1997, 1983; Hallock & Glenn 1986) رخساره‌های سکوی داخلی با حضور فراوان روزنداران کفزی با دیواره پورسلانوز (میلیولید، بورلیس، پنروپلیس، سورتینید) مشخص می‌شود (اشکال ۴ G,H). رخساره‌های مشابه از شلف لاغون نیز گزارش شده است (Vaziri-Moghaddam *et al.* 2006, Corda & Bradano 2006, Nebelsick *et al.* 2001 منفذ و روزنداران منفذدار (نومولیتید و میوژیپسینید عدسی شکل و Poamr 2001; Reiss & Cosovic *et al.* 2004; Geel 2000; Hottinger 1997; Reiss & .(Hottinger 1984

نتیجه‌گیری

در سازند آسماری در برش شرق دوگبдан، ۲۲ جنس و ۱۹ گونه از روزنداران کفزی در برش مورد مطالعه تشخیص داده شد. بر اساس پخش و گسترش آنها دو بیوزون تجمعی تعیین گردید. تجمع ۱ نشانگر سن شاتین و تجمع ۲ نشانگر اکوتانین است. مطالعات پالثواکولوژی منجر به شناسایی سه محیط رسوبی سکوی داخلی، سکوی میانی و سکوی خارجی گردید. رخساره‌های سکوی داخلی با پکستون-پکستون حاوی روزنداران کفزی با دیواره پورسلانوز مشخص می‌گردد. رخساره‌های سکوی میانی با پکستون حاوی انواع متفاوتی از روزنداران کفزی با دیواره منفذدار نشان داده می‌شود. سکوی خارجی با پکستون حاوی روزنداران شناور و نومولیتید و لپیدوسیکلینیده بزرگ و کشیده مشخص می‌گردد.

تشکر و قدردانی

این تحقیق با استفاده از اعتبارات پژوهشی دانشگاه صنعتی شاهroud به انجام رسیده است. بدین وسیله از حوزه معاونت پژوهشی تقدير و تشکر می‌گردد.

و روزنداران پلاژیک (اشکال ۴ B,C) حاکی از ته نشست رسوبات در زیر محیط دامنه بین سطح اساس امواج در شرایط عادی و شرایط طوفانی می‌باشد (Romero *et al.* 2002; Corda & Branano 2003) هم زمان روزنداران کفزی بزرگ با دیواره هیالین مانند نومولیتیدهای پهن و بزرگ حاوی هم زیست با روزنداران شناور نشانگر عمیق‌ترین بخش از حد پائینی منطقه نورانی است (Romero *et al.* 2002; Geel 2000) مشابه این رخساره از بخش‌های عمیق سکوی خارجی نیز گزارش شده است (Vaziri-Moghaddam *et al.* 2006, Geel 2000, .(Amirshahkarami *et al.* 2007 a, b

Rxساره وکستون/پکستون حاوی روزنداران کفزی بزرگ با دیواره‌های منفذدار نظیر لپیدوسیکلینیدهای مسطح و بزرگ (شکل ۴ D) حاوی جلبک هم‌زیست نشانگر شوری نرمال آب دریا است (Reiss & Hottinger 1984; Hottinger 1997; Geel 2000; Hohengger *et al.* .(1999

با توجه به حضور روزنداران فوق الذکر در مقایسه با پلاتفرم‌های عهد حاضر می‌توان گفت که این رخساره در بخش پائین منطقه نورانی رسوب کرده است (Hohengger 1997; Reiss & Hottinger 1984; Hallock 1999 Leutenegger 1984; Hottinger 1983 رخساره از سازند آسماری از ناحیه لالی نیز گزارش شده است (Vaziri .(Moghaddam *et al.* 2006

Rxساره پکستون با سازندگان خردۀای جلبک قرمز، اکینید و روزنداران کفزی با دیواره منفذدار نظیر میوژیپسینید، آمفیستزینا و نومولیتید (شکل E) دربخش بالای محیط دامنه رسوب کرده است. حضور جلبک‌های قرمز و روزنداران بزرگ با دیواره هیالین نشانگر آن است که محیط رسوبی در منطقه الیکوفوتیک واقع بوده است (Corda & Bradano 2003; Bradano & Corda 2002

روزنداران بزرگ مانند میوژیپسینید، آمفیستزینا و نومولیتید در محیط‌های گرمسیری تا نیمه گرمسیری در یک محدوده وسیع از نظر عمق زندگی می‌کنند. اما، بین عمق ۴۰ تا ۷۰ متر فراوان می‌باشند

منابع:

- Adams T.D., Bourgeois F. 1967: Asmari biostratigraphy. Geol Explor Div, IOOC Rep 1074, Tehran (unpublished).
- Alavi M. 2004: Regional stratigraphy of the Zagros fold-thrust belt of Iran and its proforeland evolution: *American Journal of Science*. **304**: 1-20.
- Amirshahkarami M, Vaziri-Moghaddam H, Taheri A. 2007b: Paleoenvironmental model and sequence stratigraphy of the Asmari Formation in southwest Iran. *Historical Biology*. **19**: 173-183.
- Amirshahkarami M., Vaziri-Moghaddam H., Taheri A. 2007a: Sedimentary facies and sequence stratigraphy of the Asmari Formation at Chaman-Bolbol, Zagros basin, Iran. *Journal of Asian Earth Sciences*. **29**: 947-959.
- Amadio S., 2006: Foraminifera diversity change and paleoenvironmental analysis: the Lower Cretaceous shallow-water carbonates of San Lorenzello, Campanian Apennines, southern Italy: *Facies*. **52**: 53-67.
- Barattolo F., Bassi D., Romero R. 2007: Upper Eocene larger foraminiferal-coralline algal facies from the Klokova Mountain (south continental Greece): *Facies*. **53**: 361-375.
- Brandano M., Corda L. 2002. Nutrients, sea level and tectonics: Constraints for the facies architecture of a Miocene carbonate

- ramp in central Italy. *Terra Nova*. **14**:257–262.
- Buxton M.W.N., Pedley H.M. 1989: Short paper: a standardised model for Tethyan Tertiary carbonates ramps: *Journal of the Geological Society, London*. **146**: 746–748.
- Corda L., Brandano M. 2003: Aphotic zone carbonate production on a Miocene ramp Central Apennines Italy: *Sedimentary Geology*. **61**: 55–70.
- Cosovic V., Drobne K., Moro A. 2004: Paleoenvironmental model for Eocene foraminiferal limestones of the Adriatic carbonate platform (Istrian Peninsula): *Facies*. **50**:61–75.
- Daneshian J., Dana L.R. 2007: Early Miocene benthic foraminifera and biostratigraphy of the Qom Formation, Deh Namak, Central Iran: *Journal of Asian Earth Sciences*. **29**: 844–858.
- Ehrenberg S.N., Pickard N.A.H., Laursen G.V., Monibi S., Mossadegh Z.K., Svana T.A., Aqrabi A.A.M., McArthur J.M., Thirlwall M.F. 2007: Strontium isotope stratigraphy of the Asmari Formation (Oligocene – Lower Miocene), SW Iran: *Journal of Petroleum Geology*. **30**: 107–128.
- Flügel E. 2004: Microfacies analysis of limestone. Springer, Berlin-Heidelberg, New York.
- Geel T. 2000: Recognition of stratigraphic sequence in carbonate platform and slope deposits: empirical models based on microfacies analysis of Palaeogene deposits in southeastern Spain: *Palaeogeography Palaeoclimatology Palaeoecology*. **155**: 211–238.
- Hallock P. 1984: Distribution of selected species of living algal symbiont-bearing foraminifera on two Pacific coral reefs: *Journal of Foraminiferal Research*. **9**: 61–69.
- Hallock P. 1988: Diversification in algal symbiont-bearing foraminifera: a response to oligotrophy? *Rev Paleobiol Spec*. **2**:789–797.
- Hallock P. 1999: Symbiont-bearing foraminifera. In: Sen Gupta BK, editor. Modern foraminifera. Dordrecht: Kluwer Academic.
- Hallock P., Glenn E.C. 1986: Larger foraminifera: A tool for Paleoenvironmental analysis of Cenozoic carbonate depositional Facies: *Palaios*. **1**: 55–64.
- Hohenegger J. 1996: Remarks on the distribution of larger foraminifera (Protozoa) from Palau (western Carolines). In: Aoyama, T. (Ed.), The Progress Report of the 1995 Survey of the Research Project, Man and the environment in Micronesia: Kagoshima University Research Center for the Pacific Islands, Occasional Papers. **32**: 19–45.
- Hohenegger J. 2004: Depth coenoclines and environmental considerations of Western Pacific larger foraminifera: *Journal of Foraminiferal Research*. **34**: 9–33.
- Hohenegger J., Yordanova E., Tatzreiter Y. 1999: Habitats of larger foraminifera on the upper reef slope of Sesko Island, Okinawa: *Marine Micropaleontology*. **36**: 109–168.
- Hottinger L. 1983: Processes determining the distribution of larger foraminifera in space and time: *Utrecht Micropaleontology Bulletin*. **30**: 239–253.
- Hottinger L. 1997: Shallow benthic foraminiferal assemblages as signals for depth of their deposition and their limitations: *Bulletin de la Société Géologique de France*. **168**:491–505.
- James G.A., Wynd J.G. 1965: Stratigraphic nomenclature of Iranian oil consortium agreement area: *American Association of Petroleum Geologists Bulletin*. **49**: 2182–2245.
- Laursen G.V., Monibi S., Allan T.L., Pickard N.A., Hosseiney A., Vincent B., Hamon Y., Van-Buchem F.S.P., Moallemi A., Druillion G. 2009: The Asmari Formation revisited: changed stratigraphic allocation and new biozonation: Shiraz, First International Petroleum Conference & Exhibition, European Association of Geoscientists and Engineers.
- Lees G.M. 1933: The reservoir rocks of Persian oil fields: *American Association of Petroleum Geologists Bulletin*. **17**: 229–240.
- Leutenegger S. 1984: Symbiosis in benthic foraminifera, specificity and host adaptations. *Journal of Foraminiferal Research*. **14**:16–35.
- Nebelsick J.H., Stingl V., Rasser M. 2001: Autochthonous facies and allochthonous debris flows compared: Early Oligocene carbonate facies patterns of the Lower Inn Valley (Tyrol, Austria): *Facies*. **44**: 31–45.
- Okhravi, R., Amini, A., 1998: An example of mixed carbonate–pyroclastic sedimentation (Miocene, Central Basin, Iran): *Sedimentary Geology*. **118**: 37–57.
- Pedley, M., 1996: Miocene reef facies of Pelagian region (Central Mediterranean region). In: Franseen E.K, Estebe, M., Ward W.C, Rouchy J.M. (Eds), Models for Carbonate Stratigraphy from Miocene Reef complexes of Mediterranean Regions. *SEPM Concept Sedimentology Paleontology*. **5**: 147–259.
- Pomar L. 2001: Ecological control of sedimentary accommodation: Evolution from a carbonate ramp to rimmed shelf, Upper Miocene, Balearic Islands: *Paleogeography Paleoclimatology Paleoenvironment*. **175**: 249–272.
- Rasser M.W., Scheibner C., Mutti M. 2005: A paleoenvironmental standard section for Lower Ilerdian tropical carbonate factories (Pyrenees, Spain; Corbieres, France): *Facies*. **51**: 217–232.
- Reiss Z., Hottinger L. 1984. The Gulf of Aqaba: Ecological Micropaleontology. Berlin: Springer. 354pp.
- Romero J., Caus E., Rossel J. 2002: A model for the palaeoenvironmental distribution of larger foraminifera based on Late Middle Eocene deposits on the margin of the south Pyrenean basin (SE Spain): *Palaeogeography Palaeoclimatology Palaeoecology*. **179**: 43–56.
- Seyrafian A., 2000: Microfacies and depositional environments of the Asmari Formation, at Dehdez area (A correlation across Central Zagros Basin): *Carbonates and Evaporites*. **15**: 22–48.
- Seyrafian A., Hamedani A. 1998: Microfacies and depositional environment of the Upper Asmari Formation (Burdigalian), North-

- Central Zagros Basin, Iran: *Neues Jahrbuch für Geologie und Paläontologie – Abhandlungen*. **210**: 129-141.
- Thomas AN., 1948: The Asmari Limestone of southwest Iran. ALOC Report. 706. Unpublished.
- Ungaro S. 1994: Nummulite morphological evolution. *Bollettino della Società Paleontologica Italiana Special*. **2**: 343–349.
- Vaziri-Moghaddam H., Kimiagari M., Taheri A., 2006: Depositional environment and sequence stratigraphy of the Oligocene-Miocene Asmari Formation in SW Iran, Lali Area: *Facies*. **52**: 41-51.
- Wilson J.L. 1975: Carbonate facies in geological history. Springer, Berlin Heidelberg New York 471 pp.
- Wynd T. 1965: Biofacies of Iranian Oil Consortium Agreement Area, Iranian Oil Offshore Company Report, 1082, Unpublished.